

مجموعه مقالات اولین کنفرانس بین المللی تپویه مطبوع و تاسیسات حرارتی و برودتی

۳۱ اردیبهشت ۱۳۹۴، ایران، تهران، مرکز همایش‌های صدا و سیما

مجری: انجمن علمی مهندسی حرارتی و برودتی ایران

HVACconf-IRSHRAE-1-013

آنالیز حساسیت و تحلیل مشخصه‌های ترمودینامیکی چرخه‌ی برایتون معکوس در سرمایش عمیق کابل‌های ابررسانا

احسان مرادی، دانشجوی کارشناسی ارشد مکانیک، دانشگاه بین‌المللی امام خمینی(ره)؛ e.moradi68@gmail.com

منصور خانکی، عضو هیئت‌علمی، دانشگاه بین‌المللی امام خمینی(ره)؛ Khanaki@eng.ikiu.ac.ir

سید عباس سادات سکاک، عضو هیئت‌علمی، دانشگاه بین‌المللی امام خمینی(ره)؛ Sadatsakak@eng.ikiu.ac.ir

مصطفی مافی، عضو هیئت‌علمی، دانشگاه بین‌المللی امام خمینی(ره)؛ M.mafi@eng.ikiu.ac.ir

جهت استفاده در کابل‌های ابررسانا صورت پذیرفته است. استفاده از

مبردهای چند جزئی [1]، استفاده از سیستم سرمایش پشتیبان [2]، بهبود عملکرد مبدل‌های حرارتی مورداستفاده در چرخه‌ی کرایوژنیکی [3] و مدل‌سازی ریاضیاتی چرخه‌ی سرمایش برایتون جهت استفاده در کابل‌های ابررسانا [4] از جمله مهم‌ترین تحقیقات صورت گرفته در سال‌های اخیر، در زمینه‌ی تحلیل و بهبود عملکرد چرخه‌ی سرمایش کرایوژنیکی جهت استفاده در کابل‌های ابررسانا می‌باشد.

لذا در پژوهش حاضر، پس از شبیه‌سازی و بهینه‌سازی حالت بهبودیافته‌ی چرخه‌ی برایتون معکوس با دو مرحله تراکم و مجهر به خنک‌کن میانی، با انجام تحلیل اگررژی، برخی پارامترهای عملکردی چرخه‌ی سرمایش اعم از کار خالص مصرفی، ضریب عملکرد و میزان تلفات اگررژی در تجهیزات مختلف مورد تحلیل و بررسی قرار گرفتند. در انتها نیز با انجام آنالیز حساسیت، عدمقطعیت در مقدار توان مصرفی چرخه‌ی سرمایش نسبت به مقدار اغتشاش در نظر گرفته شده برای پارامترهای مختلف این چرخه تعیین‌گردید. با بررسی مقادیر ضرایب بی بعد حساسیت پارامترهای مختلف (NSC) چرخه‌های سرمایش بهسهوlet می‌توان دریافت که توان مصرفی در

۲- شبیه‌سازی

شبیه‌سازی یا مدل‌سازی ریاضی درواقع تبدیل کیفیت‌های فیزیکی و رابطه‌ی متقابل این کیفیت‌ها به کمیت‌های عددی و روابط ریاضی است.

شبیه‌سازی فرآیندهای، اعمال معادلات موازن‌های جرم و انرژی به همراه شرایط تعادل فازها در یک سیستم است که معمولاً جهت سهولت کار به حالت پایایی سیستم بستنده می‌شود. در این حالت با اعمال شرایط تعادل ترمودینامیکی، مجموعه معادلات تعادلی و وجود خواهد آمد که در کنار معادلات متداول موازن‌های جرم و انرژی، مجموعه معادلات همزمانی را تشکیل می‌دهند که درواقع به مدل ریاضی فرآیند تعییرمی‌شود. برنامه‌های شبیه‌سازی فرآیند درواقع بسته‌های نرم‌افزاری هستند که تشکیل و حل این معادلات را مقدور می‌سازند. به عبارت دیگر، شبیه‌سازی عبارت است از به کارگیری مدل‌ها و ایجاد ارتباط بین آن‌ها برای توصیف عملی و علمی شرایط و حالات یک سیستم و تعیین خروجی‌های آن با توجه به داده‌های ورودی.

آنچه مسلم است این دقت و میزان انحراف از نتایج تجربی است که ضامن اعتبار و اهمیت یک مدل یا یک شبیه‌ساز است. از این‌رو، در سال‌های اخیر شبیه‌سازهای بسیاری در قالب بسته‌های نرم‌افزاری تهیه و به بازار عرضه شده‌اند. به کمک این نرم‌افزارها می‌توان حتی واحدهای پیچیده‌ای را به منظور طراحی، توسعه، بهبود عملیات و رفع تنگناها، به راحتی و در مدت زمان بسیار کوتاهی شبیه‌سازی و بهینه‌سازی نمود.

۱-۲- معرفی نرم‌افزار

در این پژوهش نرم‌افزار شبیه‌سازی فرآیند هایسیسمور داستفاده‌های قدرتمند است. در هایسیسمور عملیات واحد متعدد و گوناگونی مانند انواع مبدل‌های

چکیده

در این تحقیق ابتدا به شبیه‌سازی و بهینه‌سازی چرخه‌ی سرمایش عمیق برایتون معکوس با استفاده از نرم‌افزار هایسیسمور پرداخته شد. چرخه‌ی مورد بررسی با تراکم دومرحله‌ای و مجهر به خنک‌کن میانی است. در ادامه با انجام تحلیل اگررژی، برخی پارامترهای عملکردی چرخه‌ی سرمایش اعم از کار خالص مصرفی، ضریب عملکرد و میزان تلفات اگررژی در تجهیزات مختلف مورد تحلیل و بررسی قرار گرفتند. نتایج تحلیل شان می‌دهند که کمپرسورها و اکسپاندر، بیشترین تلفات اگررژی را به خود اختصاص داده‌اند، درنتیجه، هرگونه اصلاح در راندمان این تجهیزات منجر به کاهش تلفات اگررژی و افزایش راندمان سیستم سرمایش می‌شود. در انتها نیز با انجام آنالیز حساسیت، عدمقطعیت در مقدار توان مصرفی چرخه‌ی سرمایش نسبت به مقدار اغتشاش درنظر گرفته شده برای پارامترهای مختلف این چرخه تعیین‌گردید. با بررسی مقادیر ضرایب بی بعد حساسیت پارامترهای مختلف (NSC) چرخه‌های سرمایش بهسهوlet می‌توان دریافت که توان مصرفی در تمامی این چرخه‌ها، نسبت به متغیرهای راندمان آدیاباتیک کمپرسور و فشار حداکثری مبرد در مقابله با متغیرهای دما، دبی و فشار نیتروژن‌عبوریو بهمنچین دمای مبرد خروجی از خنک‌کن، حساس‌تر است.

کلمات کلیدی: ابررسانا، کرایوژنیک، برایتون معکوس، اگررژی، حساسیت.

۱- مقدمه

ابررسانا یکی از پدیده کوانتوم ماکروسکوپیک است که برخی مواد مشخص و در دماهای بسیار پایین این خاصیت را از خود نشان می‌دهند. در حالت ابررسانا یی مقاومت الکتریکی ماده صفر می‌شود و ماده خاصیت دیامغناطیسیں کامل پیدا می‌کند. از آنجایی که ابررسانا یی زمانی ظهور می‌کند که دمای ماده از دمای بحرانی آن کمتر شود، وجود یک سیستم سرمایشی کرایوژنیکی‌قابلیت اطمینان بالا بازدهی مناسب، طرفیت سرماده‌ی مطلوب و هزینه‌ی راهاندازی پایین، نیاز اساسی اینسامانه‌ها است. چرخه‌های رایج مورداستفاده در تجهیزات ابررسانا شامل چرخه‌های کرایوژنیکی استرلینگ، ژول- تامسون و برایتون می‌باشند. همان‌طور که اشاره گردید، دمای بحرانی از ماده‌ای به ماده‌ی دیگر متفاوت است، لذا ابررساناها به دو دسته ی دمابالا (HTS¹) و دماپایین (LTS²) تقسیم می‌گردند. در کابل‌های HTS، نیتروژن مایع بین لایه‌های کابل جریان دارد تا دمایلایه‌ی ابررسانا را به محدوده دمایی ۶۸ کلوین برساند و به علاوه به عنوانیک عایق بین لایه‌ی مرکزی و لایه‌های بیرونی تر کابل عمل نماید. در سال‌های اخیر تحقیقات بسیار بزرگ‌ترین میله‌ی بهبود عملکرد چرخه‌های سرمایشی کرایوژنیکی

¹ High Temperature Superconductivity

² Low Temperature Superconductivity

(اگررژی خروجی) به قابلیت انجام کار ورودی (اگررژی ورودی) به سیستم تعريف نمود. البته فرایندهایی که از نظرگاه راندمان اگررژی ایده آل هستند، فرایندهای اقتصادی و منطقی نیستند زیرا هرقدر راندمان اگررژی به $\%100$ نزدیکتر شود، بازگشت پذیری سیستم بیشتر شده و به تبع آن، نیروی محركه لازم برای انجام فرایند کاهش می‌یابد و درنتیجه اندازه تجهیزات فرایندی بزرگ‌تر می‌شوند [5].

در تحقیق حاضر، تلفات اگررژی بر پایه‌ی موzaزنه اگررژی بین جریان‌های ورودی و خروجی محاسبه شده‌اند. با در نظر گرفتن یک حجم کنترل حول هریک از اجزاء سیستم سرمزا، می‌توان روابط مناسبی را برای محاسبه‌ی تلفات اگررژی و راندمان اگررژی ارائه کرد.

تلفات اگررژی کل سیستم سرمزا برابر است با مجموع تلفات اگررژی تک-تک اجزاء سیستم شامل کمپرسورها، مبدل‌های حرارتی و اکسپاندر. راندمان اگررژی کل سیستم سرمزا را می‌توان به صورت رابطه‌ی (۱) تعريف کرد:

$$\epsilon_{RefrigerationSystem} = \frac{\dot{W}_{min}}{\dot{W}_{Actual}} \quad (1)$$

در تعريف فوق، \dot{W}_{Actual} و \dot{W}_{min} به ترتیب، حداقل توان مصرفی و توان مصرفی واقعی سیستم سرمزا هستند. توان مصرفی واقعی سیستم برابر است با:

$$\dot{W}_{Actual} = \dot{W}_C - \dot{W}_{Ex} \quad (2)$$

حداقل توان مصرفی چرخه‌ی سرمزا را نیز می‌توان با استفاده از تحلیل اگررژی از طریق رابطه‌ی (۲) به دست آورد:

$$\dot{W}_{min} = e_{n1} - e_{n2} = 16.994(kW) \quad (3)$$

که این مقدار برابر تغییر اگررژی جریانی نیتروژن مایع در گذر از کلدباسک^۱ است.

۳- آنالیز حساسیت

آنالیز حساسیت، ابزاری مناسب جهت شناسایی پارامترهای کلیدیک سیستمات که با مطالعه‌ی نتایج آن می‌توان پارامترهای حساس و کلیدی سیستم را شناسایی و راهکارهای مناسبی را جهت بهبود مدل‌سازی و بهینه‌سازی، ارائه نمود. جهت محاسبه‌ی عدم قطعیت در پاسخ با توجه به اغتشاشات در نظر گرفته شده برای تمامی متغیرها، نیاز به تعیین ضرایب بی-بعد حساسیت و عدم قطعیت هر متغیر مطابق روابط (۴) و (۵) است [6]:

$$NSC_{Xi} = \left(\frac{\Delta Y_i}{\bar{Y}} \frac{\bar{X}_i}{\Delta X_i} \right)^2 \quad (4)$$

$$NU_{Xi} = \left(\frac{U_{Xi}}{\bar{X}_i} \right)^2 \quad (5)$$

سپس عدم قطعیت از رابطه‌ی (۶) محاسبه می‌گردد.

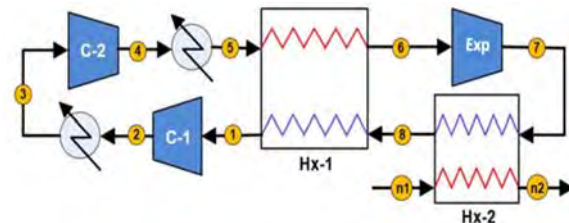
اولین کنفرانس بین المللی تهیه مطبوع و تأسیسات حرارتی و برودتی

حرارتی، تجهیزات دوار مانند پمپ و کمپرسور، جداکننده‌ها، برج‌های تقطیر، رآکتورها، عملیات جداسازی جامدات و عملیات منطقی موجود است. به علاوه عملیات واحدهای خاص را نیز می‌توان از طریق برنامه‌نویسی به این نرم‌افزار اضافه کرد. تعريف دقیق و صحیح روابط ترمودینامیکی حاکم بر بخش‌های مختلف یک فرآیند، نقش قابل توجهی در صحت و دقت شبیه‌سازی صورت گرفته دارد. داده‌های ترمودینامیکی فرآیند، در نرم‌افزار هایسیس در قالب یک یا چند بسته‌ی سیال ذخیره می‌گردند. هایسیس، دارای تعداد زیادی مدل‌های خواص فیزیکی است که هر کدام قادر به پیش‌بینی خواص یک سری از سامانه‌های مواد در شرایط عملیاتی مختلف می‌باشد.

۲-۲- توصیف سیستم مورد مطالعه

چرخه‌ی سرمزا براحتی در حالت مبنا با یک مرحله تراکم، دارای یک فشار پایین و یک فشار بالا می‌باشد. عملکرد چرخه‌ای با تراکم یک مرحله‌ای نشان می‌دهد که این چرخه‌ها جهت کارکرد در شرایطی که اختلاف دما بین کنندسور و اوپرатор ناچیز باشد، مناسب می‌باشد.

درنتیجه در فرآیند سرمزا براحتی ابررسانا کابل‌های ابررسانا که مقدار بین دمای حداقل و حداکثر چرخه قابل توجه است (حدود 280 درجه)، استفاده از چرخه‌ای با تراکم تک مرحله‌ای، ناکارا است. لذا در این پژوهش با افزایش تعداد مراحل تراکم به دو مرحله و به کار گیری یخنگ کن میانی، چرخه براحتی در شرایطی که چیدمان شکل ۱ مورد بررسی قرار گرفته است.



شکل ۱- نمایش چیدمان‌جزء چرخه مورد مطالعه

شرایط عملیاتی چرخه‌ی سرمزا مورد مطالعه در این تحقیق، مطابق جدول ۱ فرض شده است. لازم به ذکر است که جریان‌های مختلف مطابق شکل ۱ نام‌گذاری شده‌اند.

جدول ۱- شرایط عملیاتی سیستم مورد مطالعه

P _{n1, n2} (kPa)	T _{n2} (K)	T _{n1} (K)	P _{max, Ref} (kPa)	ΔT_{min}	$\dot{m}_{N2}(kg/h)$	T _{Amb} (K)	P _{Amb} (kPa)
۳۰۰	۶۸	۷۲	۱۱۲۵	۴	۲۵۵۰	۲۹۸,۱	۱۰۱,۳

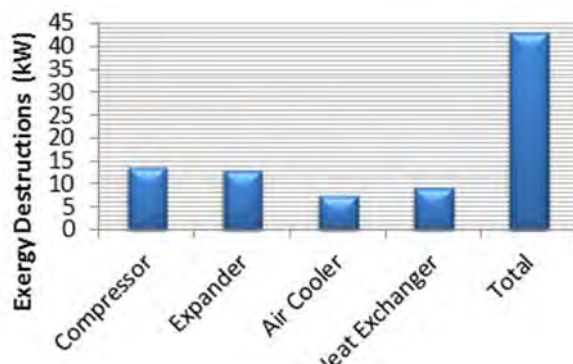
همچنین در شبیه‌سازی‌های صورت گرفته، از آفت فشار در کلیه‌ی تجهیزات‌صرف‌نظر و بازدهی آدیباتیک کمپرسورها برای 0°C فرض شده است.

۳-۲- تحلیل اگررژی

بر مبنای مفهوم اگررژی می‌توان یک معیار عملکرد مناسب‌تری جهت مقایسه سیستم‌های ترمودینامیکی مختلف پایه‌ریزی نمود. به طور کلی می‌توان بازده اگررژی یا راندمان اگررژی را به صورت قابلیت انجام کار خروجی

^۱Cold Box

شکل ۲ تلفات اگزرسی تجهیزات موجود در چرخه‌های مذکور را نمایش می‌دهد.



شکل ۲- تلفات اگزرسی در تجهیزات چرخه سرمزا

در سیستم سرمزا، توان مصرفی واقعی به شرایط جریان‌های فرآیندی سرد شونده و گرم شونده، شرایط محیط و راندمان کمپرسورها بستگی دارد. نتایج تحلیل نشان می‌دهند که کمپرسورها، بیشترین تلفات اگزرسی را به خود اختصاص داده‌اند، درنتیجه، هرگونه اصلاح در راندمان کمپرسورها منجر به کاهش توان مصرفی و افزایش راندمان سیستم سرمزا می‌شود. اختلاف دمای محدود و بار حرارتی، عوامل اصلی تلفات اگزرسی در مدل‌های حرارتی هستند. به طوری که هر قدر اختلاف دمای محدود و بار حرارتی در مدلی افزایش می‌یابد، به همان نسبت، تلفات اگزرسی نیز افزایش می‌یابد.

۴- آنالیز حساسیت

اولین گام در آنالیز حساسیت، مشخص نمودن عدم قطعیت و یا مقدار اغتشاش مورد انتظار در پارامترهای مختلف مدل است. جدول ۴ مقدار پارامترهای تحمیلی از صورت مسئله به مدل و همچنین اغتشاشات در نظرگرفته شده برای هر متغیر در چرخه مورد مطالعه را نشان می‌دهد. این مقدار تقریباً برابر با ۱٪ حداکثر مقدار هر متغیر در چرخه سرمزا، فرض شده‌اند.

جدول ۴- مقادیر نامی و اغتشاش پارامترها

$P_{Max, Ref}$	P_{N2^*}	\dot{m}_{N2^*}	T_{N2^*}	T_{n1^*}	η_a^* %	$T_{3,5^*}$	متغیر موردمطالعه	مقدار نامی(مبنا)
۱۱۲۵	۳۰۰	۲۵۵۰	۶۸	۷۲	۷۵	۳۰۰		
۱۰	۱۰	۲۵	۱	۱	۰,۷۵	۱	اغتشاش	ایجادشده

۱: دمای مبرد خروجی از خنک‌کن‌های میانی، ۲: راندمان آدیاتیک کمپرسور، ۳: دمای نیتروژن ورودی به کلدباسک، ۴: دمای نیتروژن خروجی از کلدباسک، ۵: دمای نیتروژن عبوری از کلدباسک، ۶: فشار نیتروژن عبوری از کلدباسک

با در نظر گرفتن مقادیر ارائه شده در جدول ۴ به عنوان مقادیر نامی و استفاده از روش آنالیز حساسیتارائه شده در قسمت قبل، به سهولت می‌توان ضرایب بی بعد حساسیت و عدم قطعیت تمامی پارامترهای موردنظر را محاسبه نموده و در پایان، عدم قطعیت در توان مصرفی چرخه سرمزا نسبت به اغتشاشات در نظر گرفته شده را به دست آورد. جدول ۵ نتایج آنالیز

$$\left(\frac{U_Y}{\bar{Y}} \right) = \left\{ \sum_{i=1}^N [NSC_{Xi} NU_{Xi}] \right\}^{1/2} \quad (6)$$

که در عبارات فوق X و Y به ترتیب مقادیر نامی ورودی و خروجی، ΔX و ΔY بیانگر اختلاف بین دو اغتشاش ایجادشده و U مقدار اغتشاش در هر پارامتر می‌باشد.

۴- نتایج و بحث

پس از وارد نمودن اطلاعات مربوط به خطوط جریان و تجهیزات مختلف در محیط نرم‌افزار هایسیس و انجام مدل‌سازی از چرخه موردنظر، اقدام به بهینه‌سازی شده است. در این پژوهش، اختلاف دمای محدود در کلیه مدل‌های حرارتی به عنوان Mixed روش به عنوان روشنایی مورد مسأله و قیود مسئله می‌باشد.

۴- بهینه‌سازی

با توجه به شرایط عملیاتی ارائه شده در جدول ۱ و سایر پارامترهای معرفی شده، فرآیند بهینه‌سازی برای چرخه مذکور صورت پذیرفت. ضریب عملکرد چرخه نیز از رابطه‌ی (۷) قابل محاسبه است.

$$COP = \frac{Q_C}{\dot{W}_{Actual}} \quad (7)$$

جدول ۲، مشخصه‌های ترمودینامیکی چرخه موردمطالعه در حالت بهینه را ارائه می‌نماید.

جدول ۲- مشخصه‌ی جریان‌ها در حالت بهینه

جریان	۸	۷	۶	۵	۴	۳	۲	۱
دما (Kelvin)	۶۸	۵۶	۷۲,۴	۳۰۰	۳۷۴	۳۰۰	۳۷۶	۲۹۶
فشار (کیلو پاسکال)	۴۶۳	۴۶۳	۱۱۲۵	۱۱۲۵	۱۱۲۵	۷۳۵	۷۳۵	۴۶۳

دبی جریان مبرد : ۲۹۹ کیلوگرم بر ساعت

جدول ۳ نیز نتایج تحلیل اگزرسی و مقادیر ضرایب عملکرد و توان مصرفی چرخه موردنرسی را با فرض حجم سرمایش ۵,۲۰۴ کیلووات در کلدباسک ارائه می‌نماید.

جدول ۳- نتایج تحلیل پارامترهای عملکردی چرخه سرمزا

I_C^* (kW)	I_{Exp} (kW)	I_{AC} (kW)	I_{HX} (kW)	I_{Total} (kW)	W_{Net} (kW)	COP	$\epsilon_{ref-System}$ %
۱۳,۵۵	۱۲,۸۵	۷,۳۷	۹,۰۴	۴۲,۸۱	۵۹,۶۶۰	۰,۰۸۷۲	۲۶,۱۲

*: تلفات اگزرسی

حساسیت را برای چرخه سرمایمودمطالعه که با استفاده از روش اغتشاشات بخش قبل به دست آمداند، ارائه می نماید.

جدول ۵- نتایج آنالیز حساسیت پارامترهای مختلف چرخه سرمایمودمطالعه

ضرایب بعد	$T_{3,5}$	$\eta_a \%$	T_{n1}	T_{n2}	\dot{m}_{N2}	P_{N2}	$P_{Max, Ref}$
NSC	۰,۰۱	۱,۲۴۶	۰,۱۷۳۵	۰,۱۵۸۷	۵,۳۲	۶,۳۰	۱,۴۲۴۸
NU	۱,۴۰ -۱۰۷x	۱ -۱۰۴x	۲,۰۴ -۱۰۴x	۲,۱۶ -۱۰۴x	۹,۶۱ -۱۰۵x	۱,۱۰ -۱۰۳x	۷,۹ -۱۰۵x
NSC*NU	۱,۴۰ -۱۰۰x	۱,۲۴۶ -۱۰۴x	۳,۵۴۰ -۱۰۰x	۳,۴۳۰ -۱۰۰x	۵,۱۲۰ -۱۰۸x	۷,۰۲ -۱۰۱۰x	۱,۱۲۵ -۱۰۴x
$\left(\frac{U_Y}{Y}\right) = \left\{ \sum_{i=1}^N [NSC_{X_i} NU_{X_i}] \right\}^{1/2} = ۰,۰۱۷۹$							

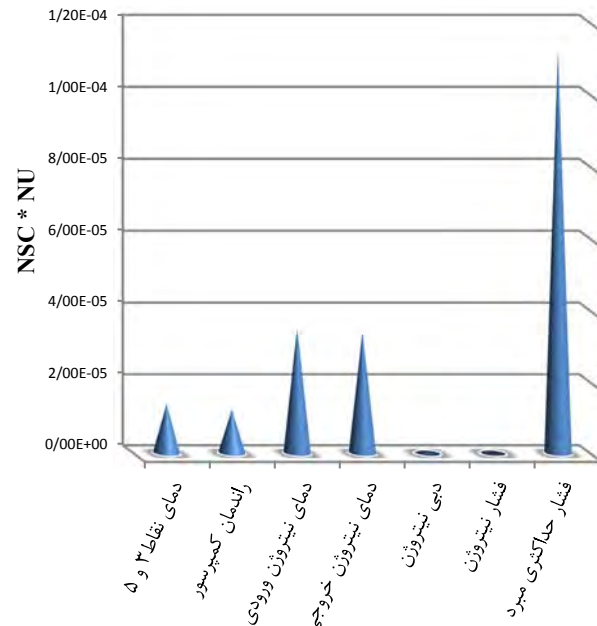
الذکر، راهکارهای مناسبی را جهت بهبود مدل سازی چرخه سرمایمودمطالعه سازی پارامترهای آن در اختیار طراح قرار می دهد.

۵- نتیجه گیری

در سیستم سرمایمودمطالعه، توان مصرفی واقعی به شرایط جریان های فرآیندی سرد شونده و گرم شونده، شرایط محیط و راندمان کمپرسورها بستگی دارد. نتایج تحلیل نشان می دهند که کمپرسورها، بیشترین تلفات اگزرسی را به خود اختصاص داده اند، درنتیجه، هرگونه اصلاح در راندمان کمپرسورها منجر به کاهش توان مصرفی و افزایش راندمان سیستم سرمایمودمطالعه (NSC) چرخه سرمایمودمطالعه مقداری ضرایب بی بعد حساسیت پارامترهای مختلف (NSC) چرخه سرمایمودمطالعه به سهولت می توان دریافت که توان مصرفی، نسبت به متغیرهای راندمان آدیاباتیک کمپرسور و فشار حداکثری مبرد در مقابله با متغیرهای دما، دبی و فشار نیتروژن ورودی و خروجی همچنین دمای مبرد خروجی از خنک کن، حساس تر می باشد. فشار و دبی نیتروژن عبوری از کلدباسک به دلیل ثابت بودن حجم سرمایش کاملاً بر توان بی تأثیر بوده و نسبت به پارامترهای دیگر حساسیتی نزدیک به صفر دارد. نتیجه فوق الذکر، راهکارهای مناسبی را جهت بهبود مدل سازی چرخه سرمایمودمطالعه سازی پارامترهای آن در اختیار طراح قرار می دهد.

فهرست علامت	
P	(kPa) فشار
T	(K) دما
m	(kg/h) دبی
I	(kW) تلفات اگزرسی
η	علامت یونانی راندمان زیرنویس ها
Amb	محیط
Ref	مبرد
$N2$	جریان نیتروژن
C	کمپرسور
Ex	اکسپاندر
HX	مبدل های حرارتی
AC	خنک کن های میانی

نتایج ارائه شده در جدول ۵ نشان می دهند که عدم قطعیت در توان مصرفی چرخه سرمایمودمطالعه شماره ۲ نسبت به مقدار اغتشاش در نظر گرفته شده برای پارامترهای مختلف برابر با ۱,۷۹٪ است. هر قدر عدم قطعیت در پاسخ یک مدل نسبت به اغتشاشات وارد به آن بیشتر باشد بدین معنی آن، سطح دقت تجهیزات موردنیاز جهت اندازه گیری مقادیر متغیرهای بودی به مدل، افزایش می یابد [7]. علت افزایش دقت موردنیاز تجهیزات اندازه گیری با افزایش عدم قطعیت در پاسخ مدل ارائه شده برای سیستم، نیاز این سیستمها به حلقه های کنترلی دقیق تر و کارآمدتر جهت حفظ پایداری سیستم حول نقطه کارکرد نامیانها می باشد. شکل ۳ حساسیت توان خروجی نسبت به پارامترهای موردنبررسی را نمایش می دهد.



شکل ۳- حساسیت توان خروجی نسبت به پارامترهای موردنبررسی

با بررسی مقادیر ضرایب بی بعد حساسیت پارامترهای مختلف (NSC) چرخه های سرمایمودمطالعه می توان دریافت که توان مصرفی در تمامی این چرخه ها، نسبت به متغیرهای راندمان آدیاباتیک کمپرسور و فشار حداکثری مبرد در مقابله با متغیرهای دما، دبی و فشار نیتروژن ورودی و خروجی همچنین دمای مبرد خروجی از خنک کن، حساس تر می باشد. نتیجه فوق-

optimization of reverse brayton cycles of different configurations for cryogenic application, AIP Conference Proceedings, 2012.

[۵] مافی، مصطفی، توسعه‌ی مدل مناسب خنک کاری در سیستم‌های جداسازی صنایع پتروشیمی و بهینه‌سازی ترمودینامیکی اقتصادی آن با آنالیز ترکیبی پیچ و اگزرزی، رساله دکتری مهندسی مکانیک، دانشگاه خواجه نصیرالدین طوسی، ۱۳۸۸.

- [6] A. Saltelli, K. Chan and E. M. Scott, *Sensitivity Analysis*, England: John Siley & Sons Ltd., 2000.
- [7] B. A. Qureshi and S. M. Zubair, *A comprehensive design and rating study of evaporative coolers and condensers. Part II: Sensitivity Analysis*, *International Journal of Refrigeration*, vol. 26, pp. 659-668, 2006.

مراجع

- [1] J. Lee, G. Hwang, S. Jeong, B. J. Park and Y. H. Han, *Design of high efficiency mixed refrigerant Joule- Thomson refrigerator for cooling HTS cable*, *Cryogenics*, pp. 408-414, 2011.
- [2] R. C. Lee, A. Dada, E. L. Garcia and S. Ringo, *Performance testing of a cryogenic refrigeration system for HTS cables*, *Cryogenic Engineering*, Colorado, 2005.
- [3] J. H. Park, Y. H. Kwon and Y. S. Kim, *The design and fabrication of a Reverse Brayton cycle cryocooler system for the high temperature superconductivity cable cooling*, *Cryogenics*, no. 45, pp. 71-75, 2005.
- [4] J. R. Streit and A. Razani, *Second- law analysis and*